

EM506 – Resistência dos Materiais II – Gabarito da Segunda Prova

Questão 1 [REVISADA] (3,0 pontos): Um durômetro Vickers possui uma ponta prismática conforme mostrada na Figura 1. Em um teste de deformação da ponta, o prisma foi submetido a uma carga uniformemente distribuída de intensidade p_0 (N/m) ao longo de sua altura H . Determine a redução de comprimento da ponta devido à carga p_0 aplicada. Use o método que achar conveniente.

Dados: módulo de elasticidade longitudinal do material da ponta – E .

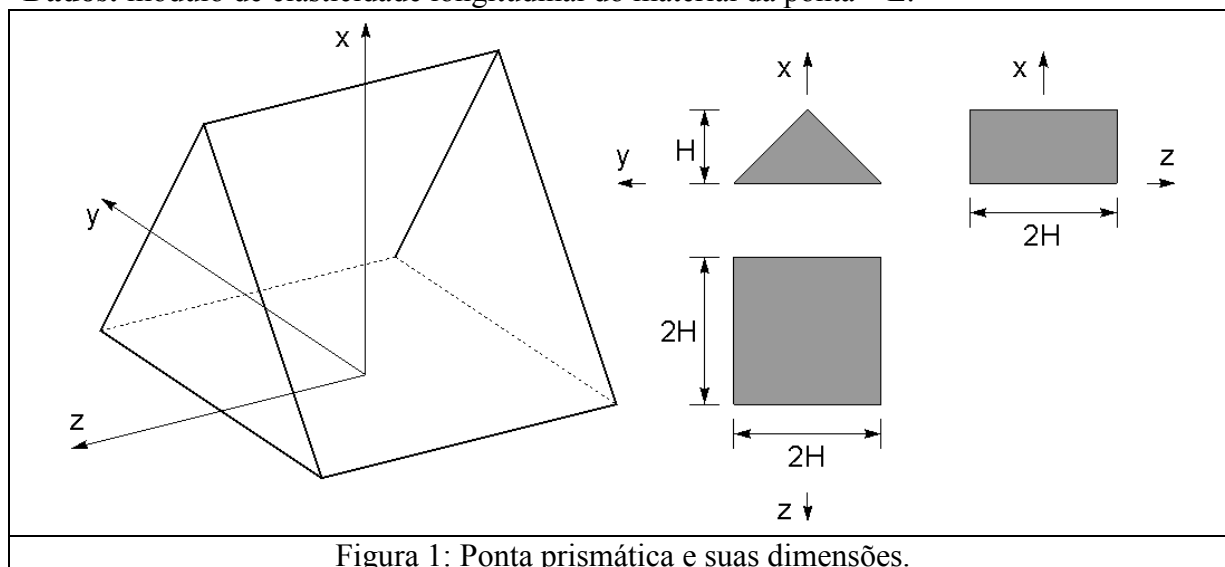


Figura 1: Ponta prismática e suas dimensões.

Solução

Método escolhido: Princípio das Forças Virtuais.

O prisma pode ser modelado como uma barra, submetida a um carregamento uniformemente distribuído, cuja área varia linearmente ao longo do comprimento. Um modelo do carregamento é mostrado na Figura 1b.

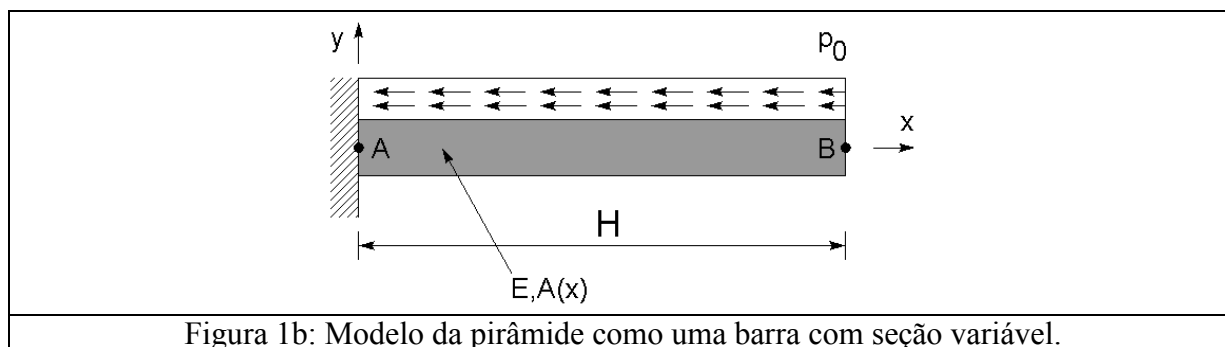


Figura 1b: Modelo da pirâmide como uma barra com seção variável.

A expressão da área $A(x)$ pode ser escrita como:

$$A(x) = \alpha x + \beta \quad (1)$$

Em que:

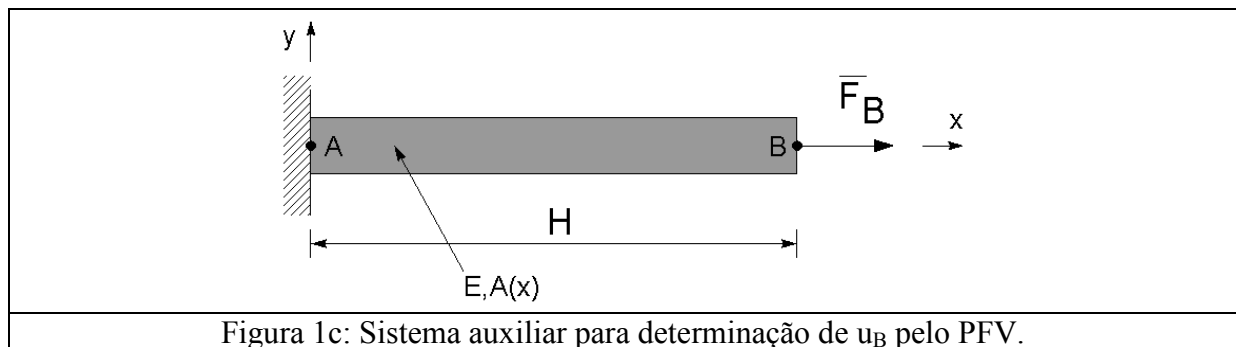
$$A(x=0) = (2H) \cdot (2H) = 4H^2 \quad (2)$$

$$A(x=H) = 0 \quad (3)$$

De (2) e (3) em (1), obtém-se $\alpha = -4H$ e $\beta = 4H^2$. Assim,

$$A(x) = 4H(H-x) \quad (4)$$

Para aplicar o Princípio das Forças Virtuais (PFV) na determinação do deslocamento do ponto B, é necessário estabelecer um sistema auxiliar, mostrado na Figura 1c.



O esforço axial virtual interno devido à força virtual aplicada no ponto B é:

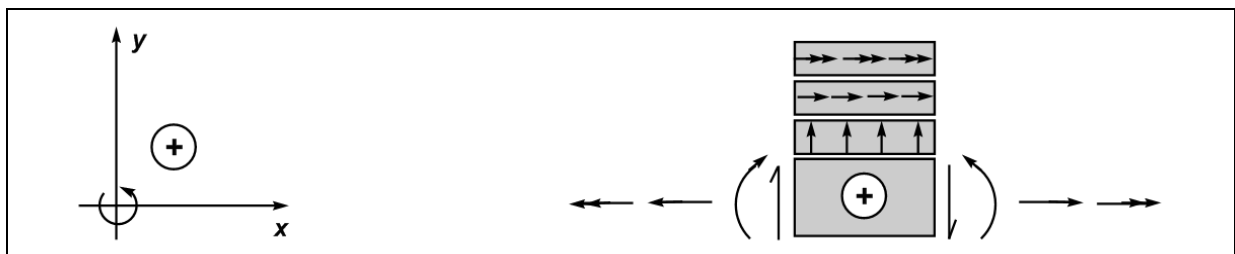
$$\bar{N}_x(x) = +\bar{F}_B \quad (5)$$

Essa força virtual é responsável por produzir um trabalho virtual de:

$$\delta W_a = \bar{F}_B \cdot \delta u_B = \bar{F}_B \cdot \mu \cdot u_B \quad (6)$$

O esforço axial real do problema (Figura 1b) pode ser determinado pela equação diferencial de barras.

a) eixos e convenção de sinais da Resistência dos Materiais



b) equação diferencial

$$\frac{d}{dx} N_x(x) = -p(x) \quad (7)$$

c) equação de carregamento

$$p(x) = -p_0 \quad (8)$$

d) condições de contorno

$$N_x(x = H) = 0 \quad (9)$$

e) integração da equação diferencial

$$\frac{d}{dx} N_x(x) = p_0 \quad (10)$$

$$\downarrow \int$$

$$N_x(x) = p_0 x + C_1 \quad (11)$$

f) determinação das constantes de integração

Substituindo-se (9) em (11), tem-se:

$$N_x(x = H) = p_0 H + C_1 = 0 \Rightarrow C_1 = -p_0 H \quad (12)$$

g) equações finais

$$N_x(x) = p_0(x - H) \Rightarrow N_x(x) = -p_0(H - x) \quad (13)$$

Assim, a variação de energia de deformação na pirâmide é:

$$\delta U_{\text{barra}} = \mu \int_x \frac{\bar{N}_x(x) N_x(x)}{E(x) A(x)} dx = \frac{\mu}{E} \int_{x=0}^{x=H} \frac{-p_0(H-x) \bar{F}_B}{4H(H-x)} dx = -\mu \bar{F}_B \frac{p_0}{4EH} x \Big|_0^H = -\mu \bar{F}_B \frac{p_0}{4E} \quad (14)$$

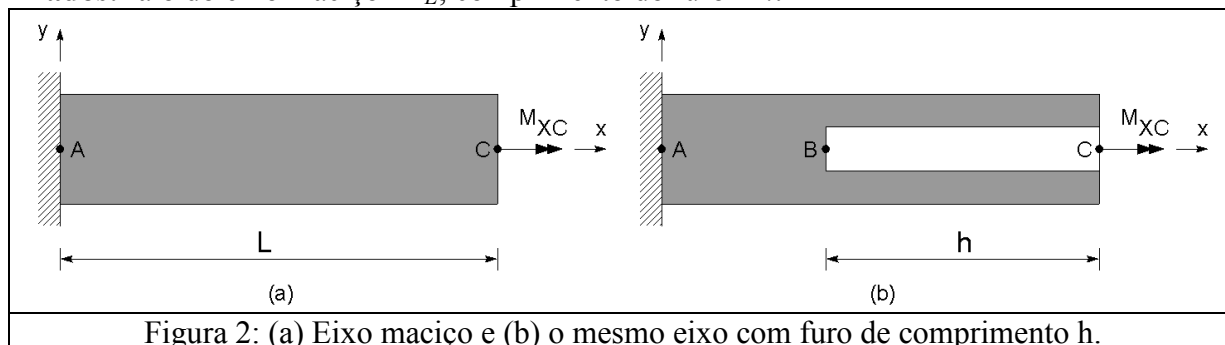
Do princípio de conservação de energia, tem-se que:

$$\delta W_a = \bar{F}_B \cdot \mu \cdot u_B = \delta U_{\text{barra}} = -\mu \bar{F}_B \frac{p_0}{4E} \Rightarrow \boxed{u_B = -\frac{p_0}{4E}} \quad (15)$$

EM506 – Resistência dos Materiais II – Gabarito da Segunda Prova

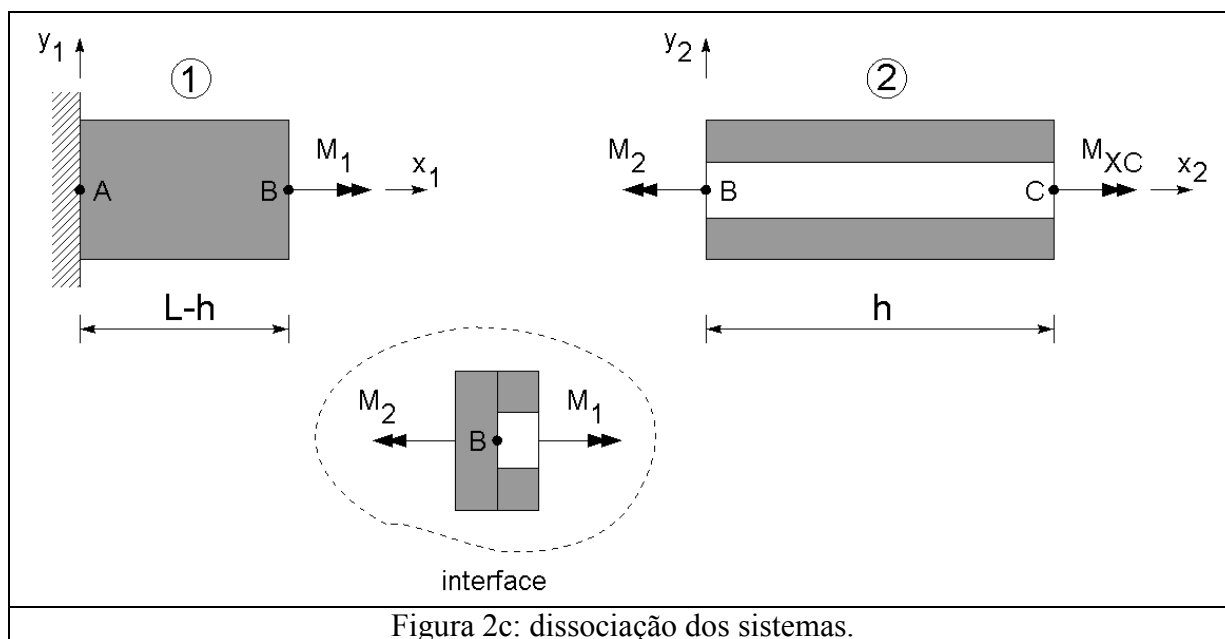
Questão 2 (4,0 pontos): O eixo engastado-livre mostrado na Figura 2a é submetido a um momento torsor M_{XC} em sua extremidade livre. Uma forma de aumentar a torção máxima do eixo é por meio de um furo, como mostrado na Figura 2b. Se o diâmetro do furo tiver metade do diâmetro do eixo, determine que comprimento deve ter para que a torção máxima seja aumentada em 5% em relação à do eixo maciço. Resolva pela técnica de Associação de Sistemas.

Dados: raio do eixo maciço – r_E ; comprimento do furo – h .



Solução

a) Dissociação dos sistemas



b) Equilíbrio na interface

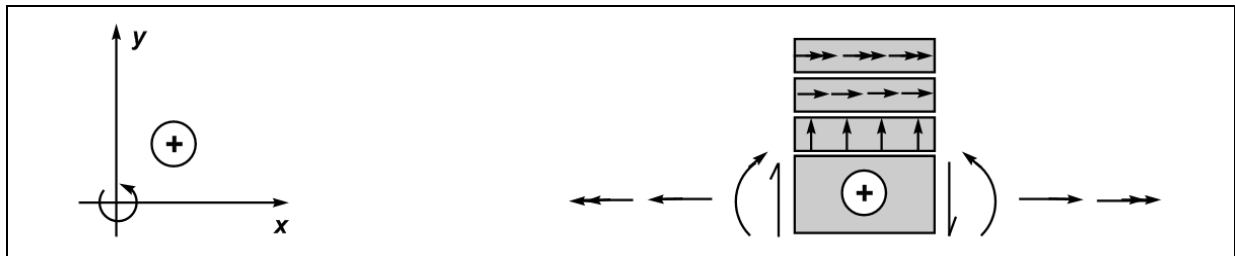
$$\sum M_x = 0 \Rightarrow -M_2 + M_1 = 0 \Rightarrow M_2 = M_1 \quad (1)$$

c) Compatibilidade cinemática

$$\phi_{1B} = \phi_1(x_1 = L - h) = \phi_2(x_2 = 0) = \phi_{2B} \quad (2)$$

d) Solução do problema (1)

d1) eixos e convenção de sinais da Resistência dos Materiais



d2) equação diferencial

$$J_{pl} G_1 \frac{d^2}{dx_1^2} \phi_1(x_1) = -t_1(x_1) \quad (3)$$

d3) equação de carregamento

$$t_1(x_1) = 0 \quad (4)$$

d4) condições de contorno

$$\phi_1(x_1 = 0) = 0 \quad (5)$$

$$M_{x1}(x_1 = L - h) = +M_1 \quad (6)$$

d5) integração da equação diferencial

$$J_{pl} G_1 \frac{d^2}{dx_1^2} \phi_1(x_1) = 0 \quad (7)$$

↓ ∫

$$J_{pl} G_1 \frac{d}{dx_1} \phi_1(x_1) = M_{x1}(x_1) = C_1 \quad (8)$$

↓ ∫

$$J_{pl} G_1 \phi_1(x_1) = C_1 x_1 + C_2 \quad (9)$$

d6) determinação das constantes de integração

Substituindo-se (5) em (9), tem-se:

$$J_{p1} G_1 \phi_1(x_1 = 0) = C_1 \cdot 0 + C_2 = 0 \Rightarrow C_2 = 0 \quad (10)$$

Substituindo-se (6) em (8), tem-se:

$$M_{x1}(x_1 = L - h) = C_1 = +M_1 \Rightarrow C_1 = M_1 \quad (11)$$

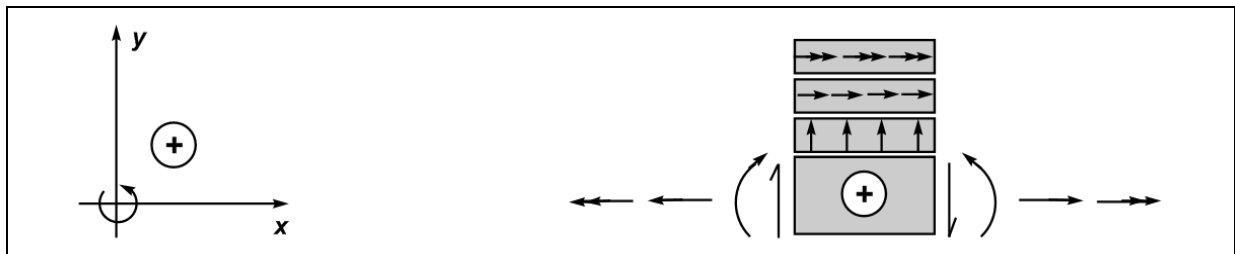
d7) equações finais

$$M_{x1}(x_1) = M_1 \quad (12)$$

$$J_{p1} G_1 \phi_1(x_1) = M_1 x_1 \quad (13)$$

e) Solução do problema (2)

e1) eixos e convenção de sinais da Resistência dos Materiais



e2) equação diferencial

$$J_{p2} G_2 \frac{d^2}{dx_2^2} \phi_2(x_2) = -t_2(x_2) \quad (14)$$

e3) equação de carregamento

$$t_2(x_2) = 0 \quad (15)$$

e4) condições de contorno

$$M_{x2}(x_2 = 0) = +M_2 \quad (16)$$

$$M_{x2}(x_2 = h) = +M_{xc} \quad (17)$$

e5) integração da equação diferencial

$$J_{p2} G_2 \frac{d^2}{dx_2^2} \phi_2(x_2) = 0 \quad (18)$$

↓ ∫

$$J_{p2}G_2 \frac{d}{dx_2} \phi_2(x_2) = M_{x2}(x_2) = D_1 \quad (19)$$

$\downarrow \int$

$$J_{p2}G_2 \phi_2(x_2) = D_1 x_2 + D_2 \quad (20)$$

e6) determinação das constantes de integração

Substituindo-se (16) em (19), tem-se:

$$M_{x2}(x_2 = 0) = D_1 = +M_1 \quad (21)$$

Substituindo-se (17) e (21) em (19), tem-se:

$$M_{x2}(x_2 = h) = D_1 = +M_{xc} \Rightarrow \boxed{M_1 = M_{xc}} \quad (22)$$

e7) equações finais

$$M_{x2}(x_2) = M_{xc} \quad (23)$$

$$J_{p2}G_2 \phi_2(x_2) = M_{xc} x_2 + D_2 \quad (24)$$

f) Resolvendo a associação

Das equações (1) e (13), tem-se que:

$$J_{p1}G_1 \phi_1(x_1) = M_{xc} x_1 \quad (25)$$

Substituindo-se (24) e (25) em (2), tem-se:

$$\phi_{1B} = \phi_1(x_1 = L - h) = \frac{1}{J_{p1}G_1} M_{xc} (L - h) \quad (26)$$

$$\phi_{2B} = \phi_2(x_2 = 0) = \frac{1}{J_{p2}G_2} D_2 \quad (27)$$

$$\phi_{1B} = \phi_{2B} \Rightarrow \frac{1}{J_{p1}G_1} M_{xc} (L - h) = \frac{1}{J_{p2}G_2} D_2 \Rightarrow D_2 = \frac{J_{p2}G_2}{J_{p1}G_1} M_{xc} (L - h) \quad (28)$$

$$\therefore \phi_2(x_2) = \frac{1}{J_{p2}G_2} \left\{ M_{xc} x_2 + \frac{J_{p2}G_2}{J_{p1}G_1} M_{xc} (L - h) \right\} \quad (29)$$

g) Solução

A torção máxima do eixo ocorre no ponto C e é dada pela Eq. (29) quanto $x_2 = h$, isto é:

$$\phi_{\text{máx}} = \phi_2(x_2 = h) = \frac{1}{J_{p2}G_2} \left\{ M_{xc}h + \frac{J_{p2}G_2}{J_{p1}G_1} M_{xc}(L-h) \right\} \quad (30)$$

O módulo de elasticidade transversal é o mesmo ao longo do eixo, sendo ele maciço ou vazado: $G = G_1 = G_2$. O momento polar de inércia J_{p1} refere-se ao eixo maciço, e J_{p2} refere-se ao eixo vazado.

$$J_{p1} = \frac{\pi}{2} (r_E^4 - r_I^4) = \frac{\pi}{2} r_E^4 \quad (31)$$

No eixo vazado, com $R_I = R_E/2$, o momento polar de inércia é dado por:

$$J_{p2} = \frac{\pi}{2} (r_E^4 - r_I^4) = \frac{\pi}{2} \left[r_E^4 - \left(\frac{r_E}{2} \right)^4 \right] = \frac{\pi}{2} \left[r_E^4 - \frac{r_E^4}{16} \right] = \frac{\pi}{2} \frac{15}{16} r_E^4 = \frac{\pi}{2} \frac{15}{16} r_E^4 \quad (32)$$

Neste eixo em particular, tem-se que:

$$\frac{J_{p2}G_2}{J_{p1}G_1} = \frac{J_{p2}}{J_{p1}} = \frac{\left(\frac{\pi}{2} \frac{15}{16} r_E^4 \right)}{\left(\frac{\pi}{2} r_E^4 \right)} = \frac{15}{16} \quad (33)$$

A deflexão máxima do eixo maciço é dada pela Eq. (13) quando $x_1 = L$ (ou também pela Eq. (30) quando se faz o comprimento do furo $h=0$):

$$\phi_{\text{máx maciço}} = \phi_1(x_1 = L) = \frac{M_{xc}}{J_{p1}G_1} L \quad (34)$$

Por outro lado, a deflexão máxima do eixo vazado é dada pela Eq. (30) por:

$$\begin{aligned} \phi_{\text{máx vazado}} &= \frac{1}{J_{p2}G_2} \left\{ M_{xc}h + \frac{J_{p2}}{J_{p1}} M_{xc}(L-h) \right\} = \frac{1}{J_{p2}G_2} \left\{ M_{xc}h + \frac{15}{16} M_{xc}(L-h) \right\} = \\ &= \frac{M_{xc}}{J_{p2}G_2} \left\{ \frac{15}{16} L + \frac{1}{16} h \right\} \end{aligned} \quad (35)$$

EM506 – Resistência dos Materiais II – Gabarito da Segunda Prova

A relação entre a deflexão máxima para o eixo com e seu furo, segundo o enunciado, deve ser:

$$\frac{\phi_{\text{máx vazado}}}{\phi_{\text{máx maciço}}} = 1,05 = \frac{\frac{M_{xc}}{J_{p2} G} \left\{ \frac{15}{16} L + \frac{1}{16} h \right\}}{\frac{M_{xc}}{J_{p1} G} L} = \frac{J_{p1}}{J_{p2}} \frac{\left\{ \frac{15}{16} L + \frac{1}{16} h \right\}}{L} = \frac{16}{15} \frac{\left\{ \frac{15}{16} L + \frac{1}{16} h \right\}}{L} \Rightarrow$$

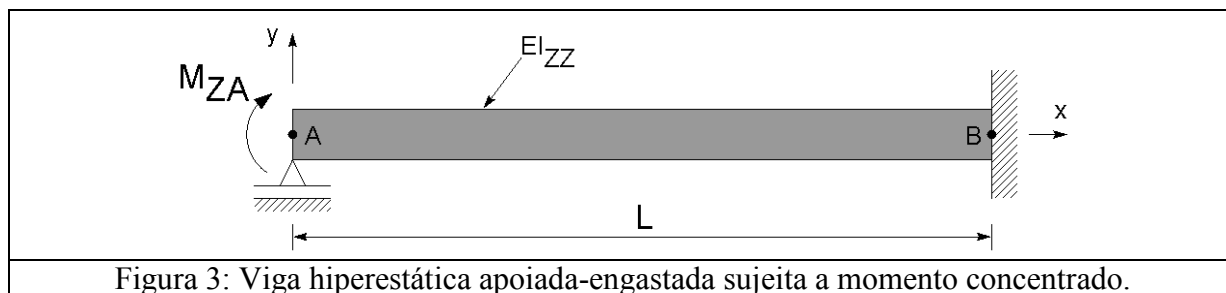
$$\Rightarrow \frac{105}{100} \frac{15}{16} L = \frac{15}{16} L + \frac{1}{16} h \Rightarrow \left(\frac{63}{64} - \frac{15}{16} \right) L = \frac{1}{16} h \Rightarrow \boxed{h = \frac{3}{4} L}$$
(36)

Assim, um furo de **75%** do comprimento do eixo é capaz de aumentar a torção máxima do eixo em 5%.

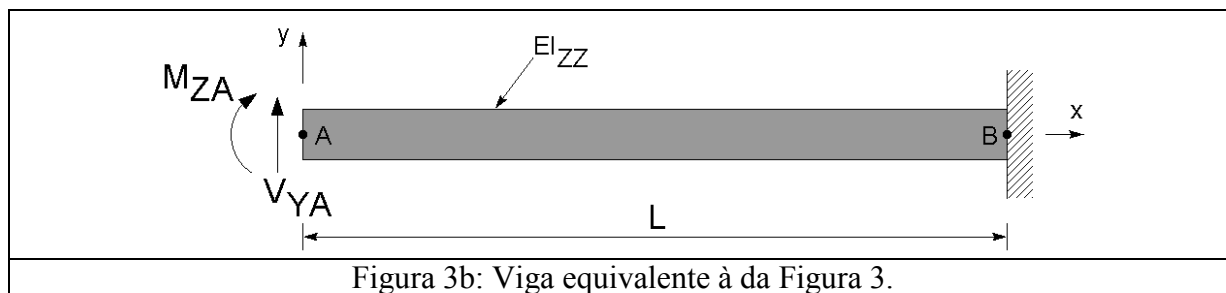
EM506 – Resistência dos Materiais II – Gabarito da Segunda Prova

Questão 3 (3 pontos): Considere a viga hiperestática mostrada na Figura 3. A viga é apoiada no ponto A e engastada no ponto B. Um momento fletor M_{ZA} concentrado é aplicado no ponto A.

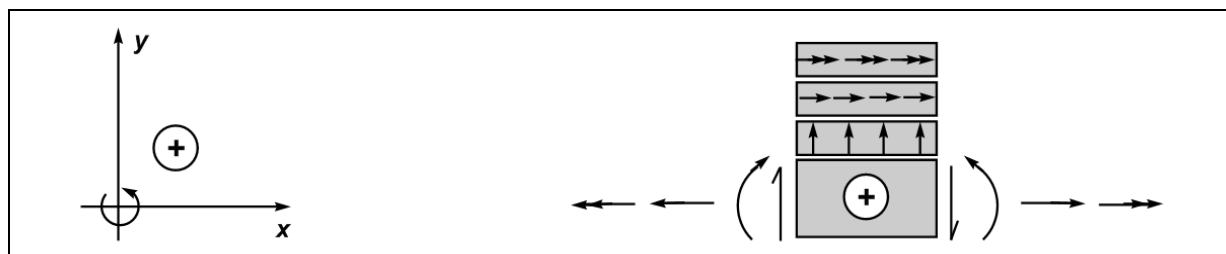
- Usando o Princípio das Forças Virtuais, determine a reação de apoio no vínculo A;
- Explique o significado da expressão $W_a = U$ no contexto dos métodos de energia na elastostática. Exemplifique uma situação em que essa expressão não é satisfeita.

**Solução**

A reação de apoio no vínculo A, V_{YA} , é mostrada na Figura 3b. O valor de V_{YA} é tal que a flecha do ponto A é nula, isto é, $v_A = 0$. Assim, pode-se aplicar o Princípio das Forças Virtuais (PFV) para determinar a deflexão do ponto A, e fazendo essa deflexão igualar-se a zero determinamos a reação V_{YA} .



Determinando o momento fletor real atuando na viga da Figura 3b:

a) Eixos e convenção da Resistência dos Materiais

b) Equação diferencial

$$\frac{d^2}{dx^2} M_Z(x) = +q(x) \quad (1)$$

c) Equação do carregamento

$$q(x) = 0 \quad (2)$$

d) Condições de contorno

$$M_Z(x=0) = +M_{ZA} \quad (3)$$

$$V_Y(x=0) = +V_{YA} \quad (4)$$

e) Integração da equação diferencial

$$\frac{d^2}{dx^2} M_Z(x) = 0 \quad (5)$$

↓ ∫

$$\frac{d}{dx} M_Z(x) = V_Y(x) = C_1 \quad (6)$$

↓ ∫

$$M_Z(x) = C_1 x + C_2 \quad (7)$$

f) Determinando as constantes de integração

Substituindo-se (4) em (6), tem-se:

$$V_Y(x=0) = C_1 = +V_{YA} \Rightarrow C_1 = V_{YA} \quad (8)$$

Substituindo-se (3) em (7), tem-se:

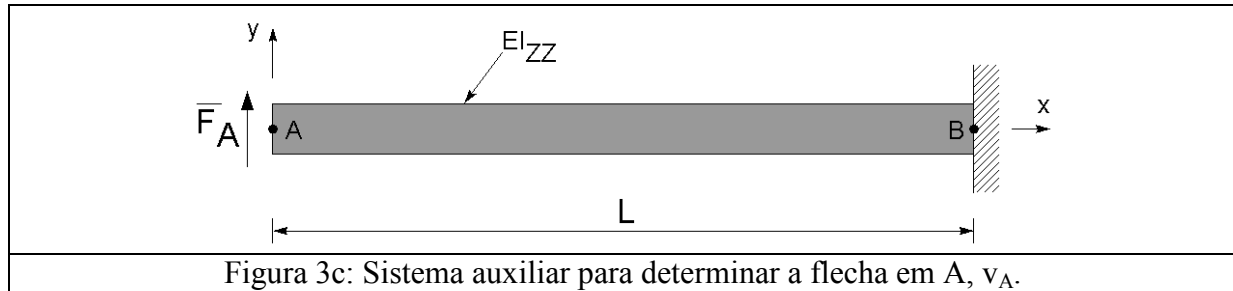
$$M_Z(x=0) = C_2 = +M_{ZA} \Rightarrow C_2 = M_{ZA} \quad (9)$$

g) Equações finais

$$V_Y(x) = V_{YA} \quad (10)$$

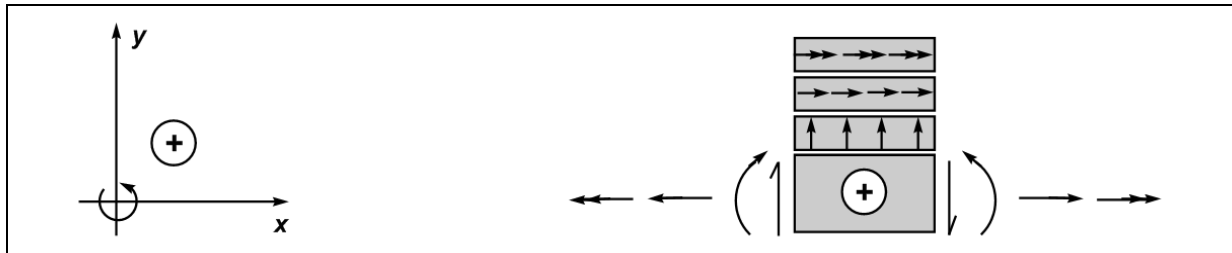
$$M_Z(x) = V_{YA} x + M_{ZA} \quad (11)$$

Para determinar a flecha do ponto A, é necessário estabelecer um sistema auxiliar como mostrado na Figura 3c.



Determinando o momento fletor virtual atuando na viga da Figura 3c:

h) Eixos e convenção da Resistência dos Materiais



i) Equação diferencial

$$\frac{d^2}{dx^2} \bar{M}_Z(x) = +\bar{q}(x) \quad (12)$$

j) Equação do carregamento

$$\bar{q}(x) = 0 \quad (13)$$

k) Condições de contorno

$$\bar{M}_Z(x=0) = 0 \quad (14)$$

$$\bar{V}_Y(x=0) = +\bar{F}_A \quad (15)$$

l) Integração da equação diferencial

$$\frac{d^2}{dx^2} \bar{M}_Z(x) = 0 \quad (16)$$

↓ ∫

$$\frac{d}{dx} \bar{M}_Z(x) = \bar{V}_Y(x) = D_1 \quad (17)$$

↓ ∫

$$\bar{M}_Z(x) = D_1 x + D_2 \quad (18)$$

m) Determinando as constantes de integração

Substituindo-se (15) em (17), tem-se:

$$\bar{V}_Y(x=0) = D_1 = +\bar{F}_A \Rightarrow D_1 = \bar{F}_A \quad (19)$$

Substituindo-se (14) em (18), tem-se:

$$\bar{M}_Z(x=0) = D_2 = 0 \Rightarrow D_2 = 0 \quad (20)$$

n) Equações finais

$$\bar{V}_Y(x) = \bar{F}_A \quad (21)$$

$$\bar{M}_Z(x) = \bar{F}_A \cdot x \quad (22)$$

O trabalho virtual da força virtual mostrada na Figura 3c é dado por:

$$\delta W_a = \bar{F}_A \cdot \delta v_A = \bar{F}_A \cdot \mu \cdot v_A \quad (23)$$

Este trabalho, produzido pela força virtual externa, corresponde a uma variação da energia de deformação, dada por:

$$\delta U = \mu \int_x \frac{M_Z(x) \bar{M}_Z(x)}{E(x) I_{ZZ}(x)} dx \quad (24)$$

$$\begin{aligned} \delta U &= \frac{\mu}{EI_{ZZ}} \int_{x=0}^{x=L} [V_{YA} x + M_{ZA}] [\bar{F}_A \cdot x] dx = \frac{\mu \bar{F}_A}{EI_{ZZ}} \int_{x=0}^{x=L} V_{YA} x^2 + M_{ZA} x dx = \\ &= \frac{\mu \bar{F}_A}{EI_{ZZ}} \left\{ V_{YA} \frac{x^3}{3} \Big|_0^L + M_{ZA} \frac{x^2}{2} \Big|_0^L \right\} = \frac{\mu \bar{F}_A}{EI_{ZZ}} \left\{ V_{YA} \frac{L^3}{3} + M_{ZA} \frac{L^2}{2} \right\} \end{aligned} \quad (25)$$

Do princípio de conservação de energia, tem-se que:

$$\delta W_a = \bar{F}_A \cdot \mu \cdot v_A = \delta U = \frac{\mu \bar{F}_A}{EI_{ZZ}} \left\{ V_{YA} \frac{L^3}{3} + M_{ZA} \frac{L^2}{2} \right\} \quad (26)$$

$$\therefore v_A = \frac{1}{EI_{ZZ}} \left\{ V_{YA} \frac{L^3}{3} + M_{ZA} \frac{L^2}{2} \right\} \quad (27)$$

Como foi dito, para que o problema da Figura 3b seja equivalente ao da Figura 3, é necessário que o valor de V_{YA} seja tal que a flecha do ponto A seja nula, $v_A = 0$. Da Equação (27), tem-se finalmente:

$$v_A = \frac{1}{EI_{ZZ}} \left\{ V_{YA} \frac{L^3}{3} + M_{ZA} \frac{L^2}{2} \right\} = 0 \Rightarrow V_{YA} \frac{L^3}{3} + M_{ZA} \frac{L^2}{2} = 0 \Rightarrow V_{YA} \frac{L^3}{3} = -M_{ZA} \frac{L^2}{2} \quad (28)$$

$$\boxed{V_{YA} = -\frac{3}{2} \frac{M_{ZA}}{L}} \quad (29)$$

No contexto dos métodos de energia na elastostática, a equação $W_a = U$ expressa que todo o trabalho exercido pelas forças externas sobre o corpo elástico é convertido em energia de deformação. Essa expressão não é satisfeita, por exemplo, quando parte do trabalho das forças externas é convertido em aceleração do corpo, isto é, depois da aplicação das forças o corpo não permanece em equilíbrio estático.